



## بررسی پیوند با زوایای منفرجه برای کاهش شکست فیستول با استفاده از مدل‌سازی عددی

سید محمد نادری، قاسم حیدری‌نژاد\*، محمد صفرزاده

دانشکده مهندسی مکانیک، دانشگاه تربیت مدرس، تهران، ایران

### تاریخچه داوری:

دریافت: ۱۳۹۷-۱۱-۱۵  
بازنگری: ۱۳۹۸-۰۱-۰۸  
پذیرش: ۱۳۹۸-۰۱-۲۵  
ارائه آنلاین: ۱۳۹۸-۰۲-۰۲

### كلمات کلیدی:

همودیالیز  
زاویه‌ی فیستول منفرجه  
ترموبوز، گرفتگی جریان  
تنش برشی

**خلاصه:** با توجه به نقش تعیین‌کننده‌ی زاویه‌ی پیوند در کارایی فیستول برای دیالیز، پیوندهای منفرجه با زوایای ۹۰، ۹۰ و ۱۴۵ طراحی و شبیه‌سازی شده و نتایج، از نقطه‌نظر الگوهای جریان در محل پیوند و تنش برشی در دیواره‌ی فیستول مورد ارزیابی قرار گرفتند. در این پژوهش، جهت مقایسه‌ی نتایج در فیستول از دو مدل خون نیوتونی و غیر نیوتونی با مدل کاریو استفاده شده و در دبی بیشینه و متوسط از منحنی ضربانی خون (به ترتیب در دبی جریان در زمان ۲/۰ ثانیه و ۰/۰ ثانیه) مدل‌سازی شدند. در زاویه‌ی ۹۰ درجه، ابعاد گردابه‌های تشکیل شده، به علت جدایش جریان در هنگام عبور از محل پیوند، به طور محسوسی بزرگ‌تر از زوایای منفرجه می‌باشد و درنتیجه احتمال گرفتگی در محل جریان بهشدت افزایش می‌یابد؛ بنابراین از نقطه‌نظر الگوی جریان، زاویه‌ی ۹۰ درجه پیوند مناسبی برای ایجاد فیستول نیست. در زوایای منفرجه ابعاد این گردابه‌ها بسیار کوچک‌تر می‌شوند و در این صورت زوایای منفرجه انتخاب بهتری محسوب می‌شوند. از نقطه‌نظر تنش برشی بیشینه، پیوند با زوایای منفرجه نسبت به پیوند با زاویه‌ی ۹۰ درجه، مقدار تنش برشی بیشینه‌ی کمتری دارد. محدوده‌ی درگیر در تنش برشی بیشینه در پیوند با زاویه‌ی ۹۰ درجه بسیار بزرگ‌تر از محدوده‌ی پیوند با زوایای منفرجه می‌باشد؛ بنابراین احتمال بروز ترومبوز (عامل اصلی شکست فیستول) در آن بسیار بیشتر است. در این شبیه‌سازی نتایج مربوط به مدل‌های نیوتونی و غیر نیوتونی بسیار به هم نزدیک بوده و مدل غیر نیوتونی، مقدار تنش برشی را کمی بیشتر پیش‌بینی کرده است.

### ۱- مقدمه

ایجاد آن، معمولاً از سرخرگ رادیال<sup>۲</sup> و سیاهرگ سفالیک<sup>۳</sup> واقع در مج دست استفاده می‌شود [۲]. شکل ۱ نمایی از عروق موردنیاز واقع در مج دست برای ایجاد فیستول رادیوسفالیک<sup>۴</sup> را نشان می‌دهد. لازم به ذکر است بعد از حدود ۲ الی ۳ ماه، به علت فشار بالای سرخرگ رادیال، سیاهرگ سفالیک به‌اصطلاح متسع می‌شود و آماده‌ی دیالیز شدن می‌شود و دو سوزن، یکی برای برداشت خون جهت تصفیه در دستگاه دیالیز و دیگری برای برگشت خون تصفیه شده از دستگاه دیالیز، به سیاهرگ سفالیک زده می‌شود تا عملیات تصفیه‌ی خون انجام شود.

یکی از مسائل اصلی در همودیالیز، دسترسی عروقی است. سه نوع دسترسی عروقی جهت دیالیز شامل گرافت<sup>۵</sup>، کاتتر<sup>۶</sup> و فیستول شریانی

اگرچه کلیه‌ها مسئول پاکسازی خون از مواد زائد هستند، اما گاهی عملکرد کلیه‌ها به‌طور ناگهانی یا به‌صورت تدریجی با مشکل مواجه می‌شوند. همودیالیز شایع‌ترین روش درمان جایگزین کلیه در بیماران کلیوی است. از آنجایی که دستگاه دیالیز برای بهترین عملکرد نیاز به دبی ۳۰۰ میلی‌لیتر بر دقیقه و یا بیشتر و همچنین قطر زیاد عروق جهت سوزن زدن مکرر دارد، پزشکان پیوندی بین سرخرگ و سیاهرگ موجود در ساعد دست برقرار می‌کنند تا از فشار بالای خون در سرخرگ و قطر بالای سیاهرگ بهره گیرند تا به این میزان دبی برای بهترین عملکرد دستگاه دیالیز برسند. به این پیوند فیستول شریانی وریدی<sup>۱</sup> می‌گویند. این مدل از پیکربندی فیستول، برای اولین بار در سال ۱۹۷۳، توسط کارمودی و لمپرت پیشنهاد شد [۱] و برای

1 Arteriovenous fistula

\* نویسنده عهده‌دار مکاتبات: Email

حقوق مؤلفین به نویسنده‌گان و حقوق ناشر به انتشارات دانشگاه امیرکبیر داده شده است. این مقاله تحت لیسانس آفرینندگی مردمی (Creative Commons License) در دسترس شما قرار گرفته است. برای جزئیات این لیسانس، از آدرس <https://www.creativecommons.org/licenses/by-nc/4.0/legalcode> دیدن فرمائید.



- 2 Radial artery
- 3 Cephalic vein
- 4 Radiocephalic fistula
- 5 Graft
- 6 Catheter

تحلیل عددی، سعی شده است که خون به عنوان یک سیال نیوتینی با مشخصاتی تقریباً مشابه با مشخصات آب که در آزمایش سرعت سنجی تصویری ذرات مورداستفاده قرار گرفته است باشد. با بررسی سرعت در ۶ مقطع مختلف (سه مقطع قبل و سه مقطع بعد از محل پیوند) و مقایسه نتایج، مشاهده شد که نتایج سرعت در این مقاطع حدوداً ۱۰٪ با نتایج تجربی اختلاف دارند.

کویین و همکاران [۱۰]، تأثیر اندازه سطح مقطع پیوند و زاویه پیوند را در نرخ جریان خروجی و افت فشار فیستول موردنبررسی قراردادند و با اعمال توزیع جریان ثابت و مختلف و در محدوده ۶۰۰ تا ۱۲۰۰ میلی لیتر در دقیقه، مشاهده کردند که برای پیوند با سطح مقطع های بزرگتر و با زاویه بیش از ۴۳ درجه، افت فشار کاهش می یابد و توزیع جریان بیشتری به خروجی فیستول منتقال می یابد. نیمان و همکاران [۱۱]، فیستول پهلو به پهلو را طراحی کردند و با اعمال فشارهای مختلف در ورودی و خروجی فیستول و همچنین ورودی های سرعت متغیر به شبیه سازی آن پرداختند و مشاهده کردند که افزایش فشار ورودی سرخرگ<sup>۳</sup>، موجب افزایش جریان در خروجی سرخرگ<sup>۴</sup> و کاهش جریان در خروجی سیاهرگ<sup>۵</sup> می شود. در سال ۲۰۱۲، بوگدان و همکاران [۱۲]، دو نوع پیوند شامل یک پیوند انتهایی به پهلو با زاویه ۴۹ درجه و یک پیوند انتهایی به انتهای، برای شبیه سازی طراحی کردند و با در نظر گرفتن خون به عنوان سیال غیر نیوتونی و همچنین اعمال دبی حداکثر و حداقل از منحنی جریان ضربانی خون، به عنوان شرط مرزی در ورودی ها و خروجی های فیستول، به شبیه سازی هندسه های طراحی شده با استفاده از روش المان محدود پرداختند. آن ها مشاهده کردند که در فیستول، جریان دین<sup>۶</sup> (جریان تحت تأثیر نیروی گریز از مرکز در مسیرهای منحنی شکل) که در منحنی ها ایجاد می شود، موجب افزایش تنش برشی در دیواره های جانبی و بیرونی و کاهش تنش برشی، در قسمت هایی از دیواره های داخلی می شود که موجب گرفتگی عروق می شود.

کهر و همکاران [۱۳]، مدل هایی از فیستول با زوایای ۲۰، ۴۵، ۶۰، ۷۵ و ۹۰ درجه را برای تجزیه و تحلیل اثر همودینامیک ناشی از زاویه پیوند طراحی کردند. دیواره نیز صلب و خون به عنوان



شکل ۱: فیستول رادیوسفالیک

Fig. 1. Radiocephalic fistula

وریدی می باشدند [۳]. فیستول شریانی وریدی در حال حاضر بهترین انتخاب برای دسترسی عروقی طولانی مدت جهت همودینامیک محسوب می شود [۴]، با این وجود، متاسفانه رگ های همه ای افراد به اندازه های کافی برای ایجاد فیستول مناسب نیستند [۳] و برای تعیین محل مطلوب برای ایجاد فیستول و استفاده از آن باید به اندازه قطر سرخرگ و سیاهرگ توجه شود. محققان با توجه به گزارش های ارائه شده به این نتیجه رسیدند که برای ایجاد فیستول با کمترین خطر شکست، باید حداقل قطر سرخرگ برابر با ۲ میلی متر و حداقل قطر سیاهرگ برابر با ۲/۵ میلی متر باشد [۵]. بلوغ فیستول به صورت بالینی زمانی مؤثر در نظر گرفته می شود که ۶ هفته پس از جراحی فیستول، توانایی پشتیبانی جریان ۶۰۰ میلی لیتر در دقیقه در قطر ۶ میلی متر را داشته باشد [۶].

مطالعات تئوری و تجربی نشان داده اند که اساساً تنش برشی مهم ترین پارامتر در تحلیل شکست فیستول می باشد. تنش برشی بالا موجب بروز بیماری ترومبوز<sup>۱</sup> (لخته خون) و گرفتگی محل عبور جریان و تنش برشی پایین، سبب رسوب املاح خون در محل فیستول می شود [۷]. از این رو نواحی دارای تنش برشی کم و تنش برشی بالا به عنوان مناطق حساس معرفی شده اند [۸]. پارامترهای همودینامیک خون، نقش اساسی در تنظیم ساختار عروقی به عهده دارد.

در سال ۲۰۱۰، زاهر و همکاران [۹]، مدلی از فیستول انتهایی به انتهای (U شکل) را با استفاده از ام آر آی. دریافت کردند و با استفاده از دینامیک سیالات محاسباتی و سرعت سنج تصویری ذرات<sup>۲</sup> موردنبررسی قراردادند. سرعت و جریان حجمی ضربانی در نظر گرفته شد و برای

3 Proximal artery

4 Distal vein

5 Proximal vein

6 Dean flow

1 Thrombosis

2 PIV

ساله با ام.آر.آی.<sup>۱</sup> را جهت شبیه‌سازی استخراج کردند. دیواره فیستول صلب در نظر گرفته شد. خون سیالی نیوتونی و شرایط مرزی جریان خروجی و ورودی سرخرگ نیز ضربانی در نظر گرفته شد. شبیه‌سازی انجام شد و مشاهده شد که در محل پیوند، تنش برشی مقادیر بالایی را نشان می‌دهد.

رموزی و همکاران [۱۸]، تصاویر ام.آر.آی. از دو مرد و دو زن گرفته شد. دیواره فیستول صلب و برای ورودی شریان و خروجی شریان، حالت موج ضربانی در نظر گرفته شد. برای خون نیز از مدل غیر نیوتونی کاریو<sup>۲</sup> با چگالی ۱۰۵۰ کیلوگرم بر مترمکعب استفاده شد و درنهایت مناطق حساس با تنش برشی بالا در محل پیوند مشاهده شد.

جوادزادگان و همکاران [۱۹]، به بررسی یک مدل فیستول با پیوند پهلو به پهلوی بالغ پرداختند. آن‌ها با صلب درنظر گرفتن دیواره و جریان آشفته، خون نیوتونی و استفاده از نرخ جریان‌های مختلف به جای حالت ضربانی خون، هندسه‌ی فیستول را شبیه‌سازی کردند. آن‌ها در نرخ جریان ۶۰ میلی‌لیتر بر دقیقه، یک گرداب بزرگ در پاشنه‌ی پیوند مشاهده کردند و این گرداب بزرگ در نرخ جریان ۹۰۰ میلی‌لیتر بر دقیقه، تبدیل به سه گرداب کوچک شد و درنهایت پیشنهاد دادند که سوزن زنی در فاصله‌ی ۳۰ تا ۵۰ میلی‌متر از محل پیوند و به دور از گردابهایها انجام شود.

در سال ۲۰۱۸، ویلیرز و همکاران [۲۰]، یک مدل انعطاف‌پذیر<sup>۳</sup> برای شبیه‌سازی یک فیستول که با تصاویر ام.آر.آی. گرفته شد را در نظر گرفتند و مقادیر تنش برشی محاسبه شد. نتایج نشان دادند که تنش برشی در اکثر مناطق فیستول پایین است اما در محلی در نزدیکی پیوند، مقادیر بالایی را نشان می‌دهد.

با توجه به پیشینه‌ی پژوهش، نوع زاویه‌ی پیوند می‌تواند تأثیر به سزاوی در کارایی فیستول از جمله، گرفتگی در محل پیوند و ترومبوز داشته باشد. بررسی الگوی جریان در زوایای مختلف می‌تواند کارایی نوع پیوند را نشان دهد. در این مقاله باهدف بررسی پیوند با زوایای منفرجه، پیوندهای ۹۰، ۱۲۰، ۱۳۵ و ۱۴۵ درجه بهصورت ۳ بعدی و در دبی جریان بیشینه و متوسط (دلیل انتخاب دبی بیشینه جهت شبیه‌سازی این است که بیشترین آسیب به عروق زمانی است که

سیالی نیوتونی و با چگالی ۱۰۵۰ کیلوگرم بر مترمکعب در نظر گرفته شد. از جمله نتایجی که به دست آمد به این صورت بود که با افزایش زاویه‌ی پیوند از ۲۰ تا ۴۵ درجه، کاهش افت فشار قابل توجه است و برای زوایای بزرگ‌تر از ۴۵ تقریباً ثابت است. گردابهای بزرگ در زوایای ۲۰، ۳۰ و ۴۵ درجه مشاهده شد و در زوایای ۷۵ و ۹۰ درجه این گردابهای کوچک‌تر بودند. در زوایای بالای ۶۰ درجه مناطق جریان کم که منجر به رسوب املاح و تنگی عروق می‌شود مشاهده شد و درنهایت پیشنهاد دادند که زوایای بزرگ‌تر از ۴۵ درجه به خاطر افت فشار پایین و زوایای کم‌تر از ۶۰ درجه به خاطر خطر هیپرپلازی کم‌تر، برای ایجاد فیستول مناسب می‌باشدند.

بوریس و همکاران [۱۴]، به بررسی اثر زاویه‌ی پیوند و قطر عروق بر همودینامیک جریان خون در فیستول پرداختند. آن‌ها ۳ نوع پیوند انتهای به پهلوی ۴۵ درجه، انتهای به پهلوی ۹۰ درجه و یک پیوند پهلو به پهلو را با ۲ قطر مختلف طراحی کردند و به جای حالت ضربان قلب، نرخ جریان‌های مختلفی را از ۶۰۰ تا ۱۲۰۰ میلی‌لیتر بر دقیقه در ورودی فیستول و فشار ثابت در خروجی در نظر گرفتند و به این نتیجه رسیدند که هرچه قطر عروق کم‌تر باشد، افت فشار بیشتر است و با افزایش نرخ جریان، افت فشار افزایش می‌یابد. حالت پهلو به پهلو تنش برشی یکنواخت‌تری دارد و افزایش قطر عروق موجب کاهش تنش برشی میانگین می‌شود.

در سال ۲۰۱۵، لئونارد و همکاران [۱۵]، مدلی از یک فیستول را در آزمایشگاه ایجاد کردند و توزیع فشار و سرعت درون مدل را برای شرایط دبی جریان ورودی ثابت مورد تجزیه و تحلیل قراردادند و با نتایج حل عددی مقایسه کردند و مشاهده کردند که سرعت و شدت گردش گردابی به‌طور فزاینده‌ای با افزایش جریان، افزایش می‌یابد که موجب اختلاط فراوانی در امتداد مرکز خط فیستول و ناپایداری در مسیر جریان ایجاد می‌شود.

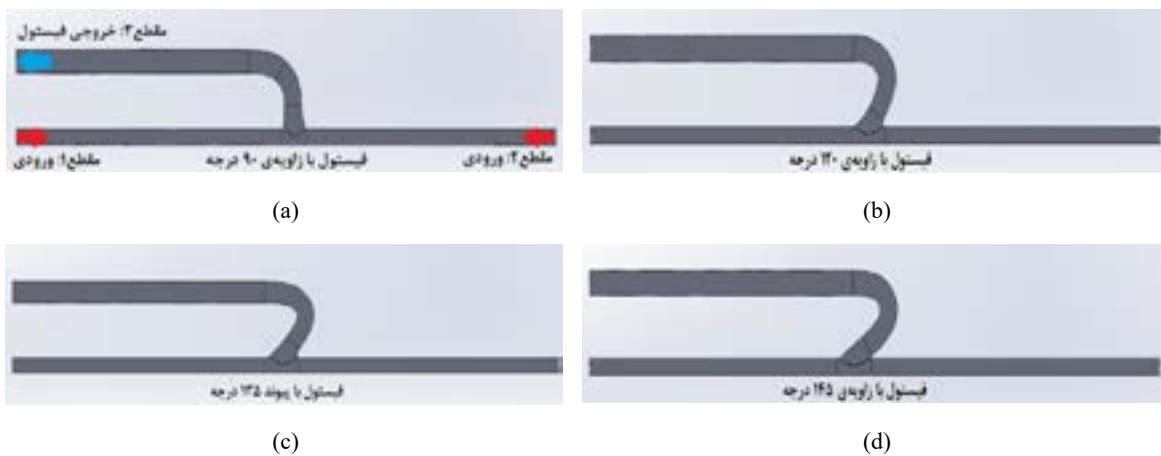
سیلوا و همکاران [۱۶]، زوایای ۲۰، ۲۵، ۳۰، ۳۵، ۴۰ و ۴۵ درجه را برای طراحی فیستول انتخاب کردند. خون بهصورت سیال نیوتونی، ورودی سرخرگ بهصورت ضربانی و خروجی‌ها به صورت توسعه‌یافته در نظر گرفته شد. تنش و سرعت‌ها و گردابهای در دو حالت دبی جریان حداکثر و حداقل بررسی شدند و به این نتیجه رسیدند که زوایای ۲۰ تا ۳۰ درجه، بهترین زاویه برای ایجاد فیستول می‌باشد.

رموزی و همکاران [۱۷]، تصاویر هندسه‌ی فیستول یک مرد ۳۹

۱ Magnetic Resonance Imaging (MRI)

۲ Carreau model

۳ FSI



شکل ۲: هندسه‌های مسئله جهت شبیه‌سازی

Fig. 2. Problem geometries for simulation

جنبی آشفتگی<sup>۳</sup> و نرخ مشخصه اضمحلال<sup>۴</sup> (امگا) حل شده و  
ویسکوزیته اغتشاشی از طریق روابط (۳) و (۴) محاسبه می‌شود.

$$\frac{\partial \bar{u}_i}{\partial x_i} = 0 \quad (1)$$

$$\frac{\partial \bar{u}_i}{\partial t} + \bar{u}_j \frac{\partial \bar{u}_i}{\partial x_j} = - \frac{1}{\rho} \frac{\partial P}{\partial x_i} + \quad (2)$$

$$\frac{\partial}{\partial x_j} \left[ (\nu + \nu_t) \frac{\partial \bar{u}_i}{\partial x_j} \right] + \vec{g} \cdot \vec{e}_i$$

$$\frac{\partial k}{\partial t} + \bar{u}_j \frac{\partial k}{\partial x_j} = \frac{\partial}{\partial x_j} \quad (3)$$

$$\left[ (\nu + \sigma_k \nu_t) \frac{\partial k}{\partial x_j} \right] + p_k - B^* k \omega$$

$$\frac{\partial \omega}{\partial t} + \bar{u}_j \frac{\partial \omega}{\partial x_j} = \frac{\gamma P_k}{\rho \nu_t} - \beta \omega^2 + \frac{\partial}{\partial x_j} \quad (4)$$

$$\left[ (\nu + \sigma_\omega \nu_t) \frac{\partial \omega}{\partial x_j} \right] + 2(1 - F_1) \sigma_{\omega 2} \frac{1}{\omega} \frac{\partial k}{\partial x_j} \frac{\partial \omega}{\partial x_j}$$

ضرایب معادلات روابط (۳) و (۴) در [۲۲] موجود است.

تنشی برشی روی دیواره فیستول نیز از رابطه‌ی (۵) به دست می‌آید.

$$\overrightarrow{wss} = \tau = \mu \left( \frac{\partial \bar{u}}{\partial y} \right)_{y=0} \quad (5)$$

دبی جریان و درنتیجه تنش برشی، بیشینه باشد ولی با این وجود برخی از نتایج مربوط به دبی جریان متوسط از منحنی ضربانی خون (دبی جریان در زمان ۰/۴ ثانیه) نیز استخراج شده است. از سیکل منحنی ضربانی قلب و با استفاده از نرمافزار اوپن فوم<sup>۱</sup> شبیه‌سازی و موردمطالعه قرار می‌گیرد و با بررسی الگوی جریان و پارامتر مهم تنش برشی در دیواره فیستول، کارایی این نوع پیوند مورد تجزیه و تحلیل قرار می‌گیرد.

## ۲- هندسه‌های مسئله

هنده‌ساهای سه بعدی مسئله در زوایای ۹۰، ۱۲۰، ۱۳۵ و ۱۴۵ با، با نرمافزار سالیدورک<sup>۲</sup> و به صورت شکل ۲ طراحی شدند. جهت طراحی، قطر سرخرگ برابر ۲ میلی‌متر، قطر سیاهرگ برابر ۳ میلی‌متر، فاصله‌ی بین محور مرکزی سرخرگ و سیاهرگ برابر ۸/۵ میلی‌متر و سطح مقطع پیوند به صورت بیضوی در نظر گرفته شده است.

## ۳- معادلات حاکم

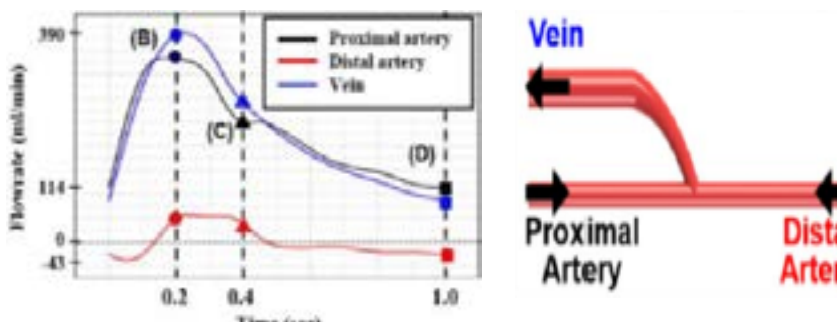
معادلات اصلی که جهت شبیه‌سازی استفاده شده‌اند شامل معادلات پیوستگی و مومنتوم طبق روابط (۱) و (۲) است. به منظور مدل‌سازی اغتشاش، از روش SST-kω<sup>۳</sup> که بر پایه‌ی روش متوسط‌گیری رینولدز و نسخه‌ی تصحیح شده مدل k و ω استاندارد ارائه شده توسط ویلکاکس [۲۱] می‌باشد، استفاده شد. در این روش معادلات انرژی

1 OpenFoam

2 Solidwork

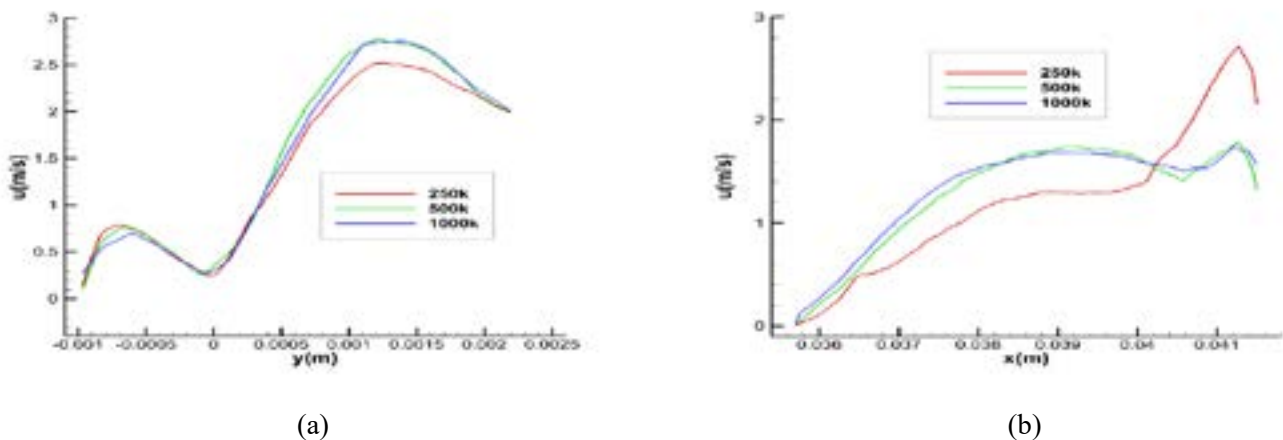
3 k

4 Specific Rate of Dissipation



شکل ۳: نقاط مورد استفاده از منحنی ضربانی خون [۲۹] برای شبیه‌سازی جهت شرایط مرزی (B و C)

Fig. 3. Points used of the blood pulsation curve (B and C) for the boundary conditions for simulation



شکل ۴: بررسی استقلال حل از شبکه در مقاطع (a) عمودی و (b) افقی در نزدیکی محل پیوند

Fig. 3. Points used of the blood pulsation curve (B and C) for the boundary conditions for simulation

استفاده شده است.

#### ۴-روش عددی

در شبیه‌سازی حاضر ترم‌های زمانی با روش اول مرتبه اول و ترم‌های جابجایی معادلات انتقال مومنتوم،  $k$  و  $W$ ، با روش ترکیبی خطی محدود<sup>۱</sup> که ترکیبی از روش بادسو<sup>۲</sup> و مرکزی<sup>۳</sup> [۲۶ و ۲۷] می‌باشد استفاده شده است و برای کلیه ترم‌های نفوذ از روش مرکزی مرتبه ۲ استفاده شده است. هندسه‌ی طراحی شده را بعد از شبکه‌بندی با استفاده از یکی از حل‌گرهای اوپن‌فوم به نام پیمپل‌فوم<sup>۴</sup> که یک حل‌گرگذا برای جریان تراکم ناپذیر است [۲۸]، شبیه‌سازی کرده و درنهایت مقادیر تنش برشی و الگوی جریان در ۴ زاویه استخراج شده است.

جریان تراکم ناپذیر و برای خون از دو مدل نیوتونی با ویسکوزیته ۰/۰۰۳۵ پاسکال ثانیه و غیر نیوتونی با مدل کاربیو (رابطه‌ی (۶)) و با چگالی ۱۰۵۰ کیلوگرم بر مترمکعب در نظر گرفته شده است [۲۵-۲۳].

$$\mu = \mu_{\infty} + (\mu_0 - \mu_{\infty}) \left[ 1 + (\lambda \dot{\gamma})^2 \right]^{\frac{n-1}{2}} \quad (6)$$

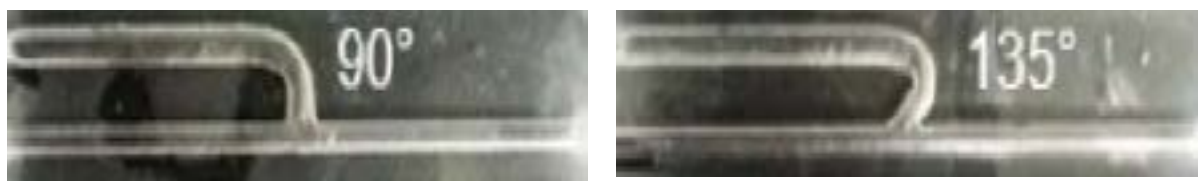
در رابطه‌ی (۶)، ویسکوزیته در نرخ برشی بالا ( $\mu_{\infty}$ ) برابر با ویسکوزیته مدل نیوتونی و برابر با  $0/0035$  پاسکال ثانیه و مقدار ویسکوزیته در نرخ برش صفر ( $\mu_0$ ) برابر با  $0/056$  پاسکال ثانیه و مقدار  $\lambda$  برابر  $3/131$  ثانیه و مقدار  $n$  برابر  $3568/0$  می‌باشد. با توجه به اهمیت بررسی پارامتر مهم مسئله یعنی تنش برشی روی دیواره‌ی فیستول، از مدل SST-kω در شبیه‌سازی

1 Limited linear

2 Upwind

3 Central

4 PimpleFoam



شکل ۵: مدل‌های مختلف فیستول در مدل آزمایشگاهی [۲۹]

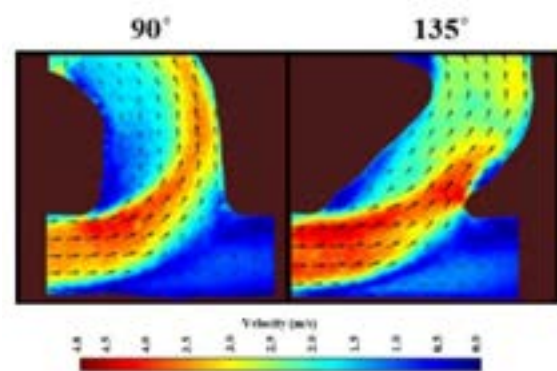
Fig. 5. Different models of fistula in the experimental model

شبکه‌بندی با تعداد ۵۰۰ هزار شبکه و یک‌میلیون شبکه سلول بسیار به هم نزدیک می‌باشند اما نتایج برای ۲۵۰ هزار شبکه سلول با آن‌ها اختلاف دارد؛ بنابراین تعداد ۵۰۰ هزار شبکه سلول به عنوان بهینه‌ترین تعداد شبکه برای شبیه‌سازی در نظر گرفته شده است.

#### ۵-۲- اعتبار سنجی

در سال ۲۰۱۶، هیون‌کیم [۲۹]، به بررسی سه نوع پیوند انتها به پهلو با زوایای ۴۵، ۹۰ و ۱۳۵ در مدل آزمایشگاهی پرداخت. در این مدل‌ها، قطر سرخرگ ۲ میلی‌متر و قطر سیاه‌رگ ۳ میلی‌متر در نظر گرفته شده است و توسط پرینتر سه‌بعدی و با استفاده از ماده‌ی پلی‌دی‌متیل سیلوکزان تولید شده‌اند و توسط خون مصنوعی غیر نیوتونی (ترکیبی از ۷۹/۱ درصد آب، ۲۰/۹ درصد گلیسرین و ۰/۰۲۱ درصد زانتان) با چگالی ۱۰۵۰ کیلوگرم بر مترمکعب، در ۳ دبی جریان مختلف (دبی جریان بیشینه، کمینه و متوسط از منحنی ضربانی خون) مورد آزمایش قرار گرفتند تا مکانیسم اصلی شکست فیستول بررسی شود. شکل ۵ نمایی از هندسه‌های مربوط به مدل‌های آزمایشگاهی را نشان می‌دهد.

بعد از طراحی هندسه‌ی فیستول با زوایای پیوند ۹۰ و ۱۳۵ درجه و اعمال شرط مرزی در دبی جریان بیشینه به شبیه‌سازی آن‌ها پرداخته شد. نتایج برای هندسه‌ی فیستول با زاویه‌ی ۹۰ و ۱۳۵ درجه با مدل آزمایشگاهی [۲۹] مسئله مقایسه شد. شکل ۶، نتایج مدل آزمایشگاهی را در دبی جریان بیشینه نشان می‌دهد. شکل ۷، نتایج شبیه‌سازی فیستول با پیوند ۹۰ و ۱۳۵ درجه را در دبی جریان بیشینه نشان می‌دهد. طبق شکل ۷، جریان در دو زاویه‌ی پیوند هنگام ورود به فیستول از محل پیوند جدا شده و به سمت دیواره‌ی سمت راست متمایل شده و در نزدیکی دیواره‌ی سمت راست، سرعت افزایش یافته است که موجب افزایش تنفس برشی می‌شود و بر عکس در نزدیکی دیواره‌ی سمت چپ سرعت کاهش



شکل ۶: کانتور سرعت برای مدل آزمایشگاهی فیستول ۹۰ و ۱۳۵ درجه در دبی بیشینه [۲۹]

Fig. 6. Velocity contour for the fistula experimental model of 90 and 135 degrees in maximum flow rate

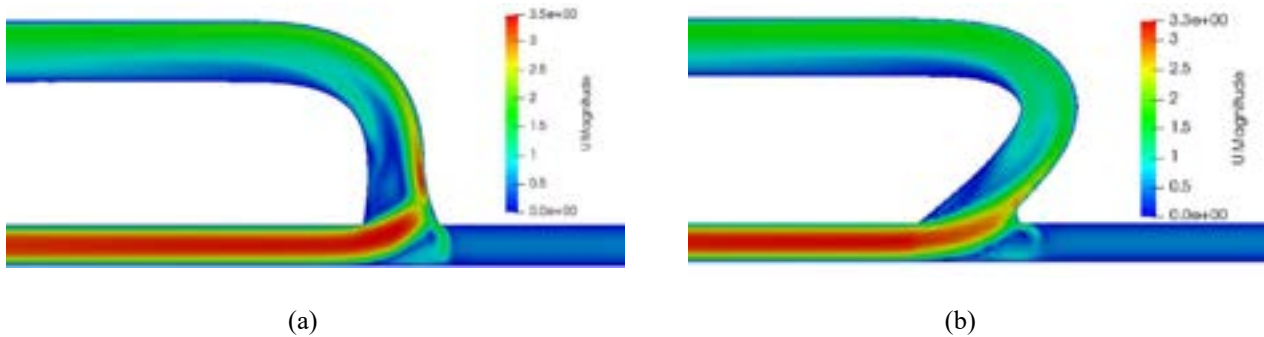
جهت اعمال شرایط مرزی، از مقادیر بیشینه و متوسط دبی جریان (به ترتیب در زمان ۰/۲ ثانیه و ۰/۴ ثانیه) از منحنی ضربانی خون [۲۹]، مطابق با شکل ۳ و در ورودی‌ها و خروجی‌های فیستول استفاده شده است. دبی جریان بیشینه با توجه به قطر عروق در سه مقطع نشان داده شده در شکل ۲، به سرعت تبدیل شده و به عنوان شرط مرزی در نظر گرفته شده است.

#### ۵- نتایج مربوط به دبی جریان بیشینه

##### ۵-۱- استقلال حل از شبکه

به منظور بررسی استقلال حل از شبکه، هندسه‌ها در نرم‌افزار آی-سی-ام<sup>۱</sup> شبکه‌بندی شده‌اند. سه نوع شبکه‌بندی با تعداد ۲۵۰ هزار، ۵۰۰ هزار و یک‌میلیون در نظر گرفته شده است. مطابق با شکل ۴ پروفیل سرعت در ۲ مقطع عمودی (در فاصله‌ی ۴۶ میلی‌متر از ورودی سرخرگ در مقطع ۱) و افقی (در فاصله‌ی ۶ میلی‌متر از محور مرکزی سرخرگ) و در نزدیکی محل پیوند با یکدیگر مقایسه شده است.

همان‌طور که در شکل ۴ مشاهده می‌شود، نتایج سرعت برای



شکل ۷: کانتور سرعت برای زاویه‌ی پیوند (a) ۹۰ درجه و (b) ۱۳۵ درجه در دبی جریان بیشینه

**Fig. 7. The velocity contour for the anastomosis angle (a) 90 and (b) 135 degrees at maximum flow rate**

مقایسه‌ی الگوی جریان و تنش برشی در زاویه‌ی منفرجه، فیستول با پیوند ۱۲۰ و ۱۴۵ درجه نیز در دبی جریان بیشینه و در دو مدل نیوتونی و غیر نیوتونی شبیه‌سازی شده است. شکل ۸ نتایج الگوی جریان در پیوندهای ۹۰، ۱۲۰، ۱۳۵ و ۱۴۵ درجه را در دو مدل نیوتونی و غیر نیوتونی نشان می‌دهد.

با مقایسه‌ی الگوی جریان حاصل از شبیه‌سازی در دو مدل نیوتونی و غیر نیوتونی ملاحظه می‌شود که در تمام موارد به علت وجود جریان دین و تغییر مسیر غیرمنتظره‌ی جهت جریان در هنگام عبور از محل پیوند، جدایش جریان اتفاق می‌افتد و همچنین غالب جریان به سمت دیواره‌ی سمت راست کشیده می‌شود و درنتیجه مقادیر سرعت در مناطقی از دیواره‌ی سمت راست، بالا می‌رود که موجب بالا رفتن مقدار تنش برشی و تحریک سلول‌های دیواره‌ی داخلی عروق و درنتیجه ایجاد ترومبوуз و زخم و درنهایت موجب ضخیم شدن دیواره و کاهش خون‌رسانی به فیستول می‌شود. سرعت بیشینه نیز در زاویه‌ی پیوند ۹۰ درجه بیشتر از بقیه‌ی زوایای پیوند می‌باشد. الگوی جریان در دو مدل نیوتونی و غیر نیوتونی نیز بسیار شبیه به هم می‌باشند و اختلاف بسیار کمی با یکدیگر دارند.

شکل ۹ بردارهای سرعت در چهار زاویه‌ی پیوند را در دبی بیشینه نشان می‌دهد. همان طور که مشخص است، در هر زاویه دو گردا به، یکی در پایین محل پیوند و دیگری در قسمت بالا و سمت چپ محل پیوند تشکیل می‌شود که می‌تواند بعد از مدتی، موجب رسوب املاح و گرفتگی در مسیر جریان و درنتیجه کاهش خون‌رسانی به فیستول شود. در پیوند با زاویه‌ی ۹۰ درجه و در قسمت بالا و سمت چپ محل پیوند، برخلاف زوایای پیوند دیگر، گرداهای بزرگ‌تری تشکیل می‌شود و احتمال رسوب املاح و گرفتگی عروق در آن بسیار

جدول ۱: مقادیر تنش برشی بیشینه در دو مدل تجربی و شبیه‌سازی شده [۲۹]

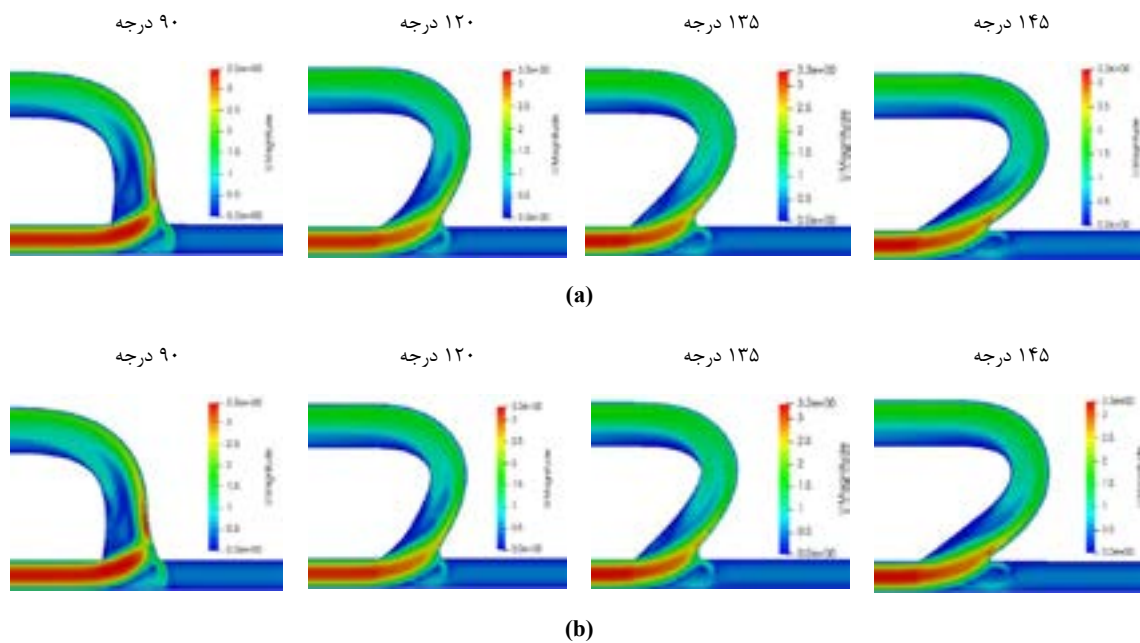
**Table 1. The maximum shear stress values in both experimental and simulated models**

زاویه	تجربی ( $\pm 8\%$ خطأ) (پاسکال)	شبیه‌سازی (پاسکال)
۹۰	$255/7 \pm 21$	۳۳۴
۱۳۵	$334/27 \pm 27$	۳۰۵

یافته است که احتمال کاهش تنش برشی و تشکیل گردابهای و رسوب املاح خون را افزایش می‌دهد. مقادیر سرعت بیشینه در زاویه‌ی ۹۰ درجه به مقدار  $3/5$  متر بر ثانیه و در زاویه‌ی ۱۳۵ درجه به مقدار  $3/3$  متر بر ثانیه رسیده است ولی در مدل تجربی، سرعت در دو زاویه به مقدار تقریبی  $3/8$  الی  $4$  متر بر ثانیه رسیده است (لازم به ذکر است که در شکل ۵، راهنمای کانتور سرعت در تمام زوایا یکسان رسم شده است و لذا این اعداد با مقداری خط‌گزارش شده است). بنابراین مقادیر سرعت در مدل شبیه‌سازی شده و در زوایای ۹۰ و ۱۳۵ درجه به ترتیب،  $8\%$  و  $13\%$  با نتایج مدل تجربی اختلاف دارند.

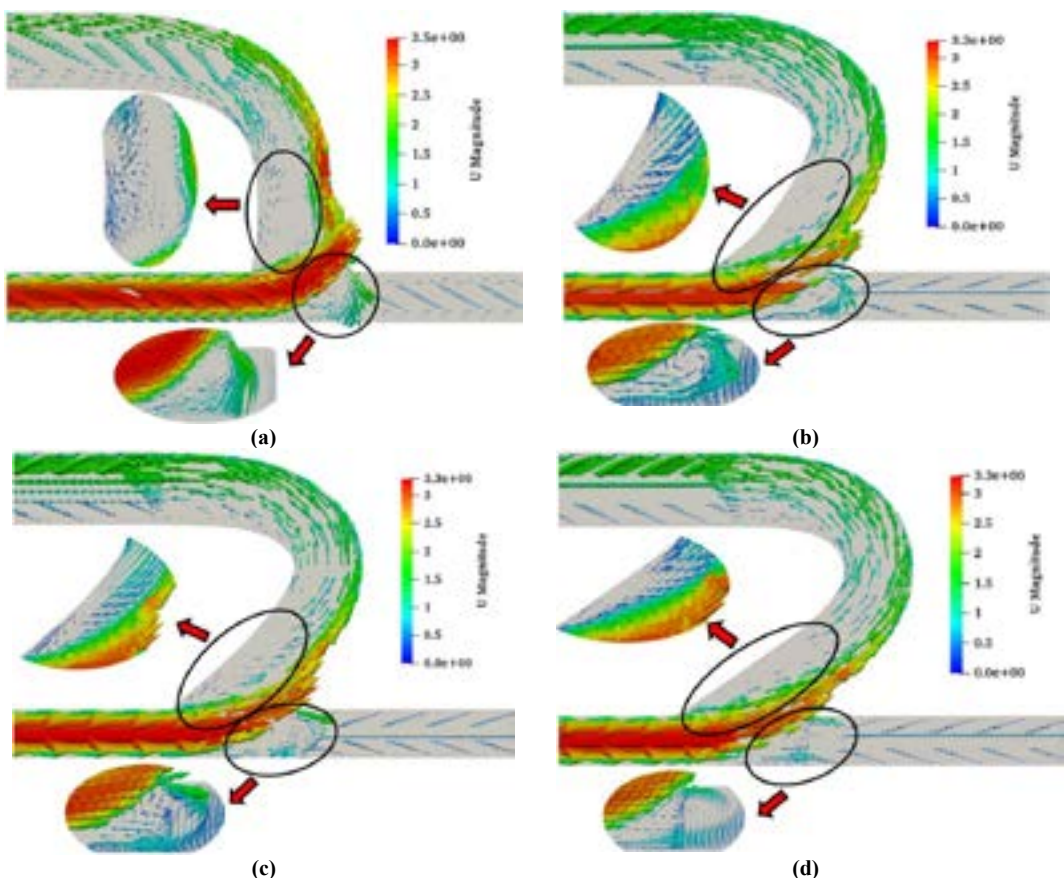
جدول ۱، مقادیر تنش برشی بیشینه در دو مدل شبیه‌سازی شده و تجربی را نشان می‌دهد که در زاویه‌ی پیوند ۹۰ و ۱۳۵ درجه و به ترتیب،  $30\%$  و  $8/68\%$  با نتایج تجربی اختلاف دارد. اختلافی که در نتایج مربوط به الگوی کلی جریان و مقادیر تنش برشی بیشینه وجود دارد می‌تواند ناشی از در دسترس نبودن کامل جزئیات هندسه‌ی مدل تجربی جهت طراحی و شبیه‌سازی و همچنین خطای  $8\%$  موجود در مدل تجربی باشد.

۳-۵- الگوی جریان و بردار سرعت در مدل نیوتونی و غیر نیوتونی علاوه بر شبیه‌سازی فیستول با پیوند ۹۰ و ۱۳۵ درجه، جهت



شکل ۸: الگوی جریان برای پیوند با زوایای مختلف در دو مدل (a) نیوتونی و (b) غیر نیوتونی

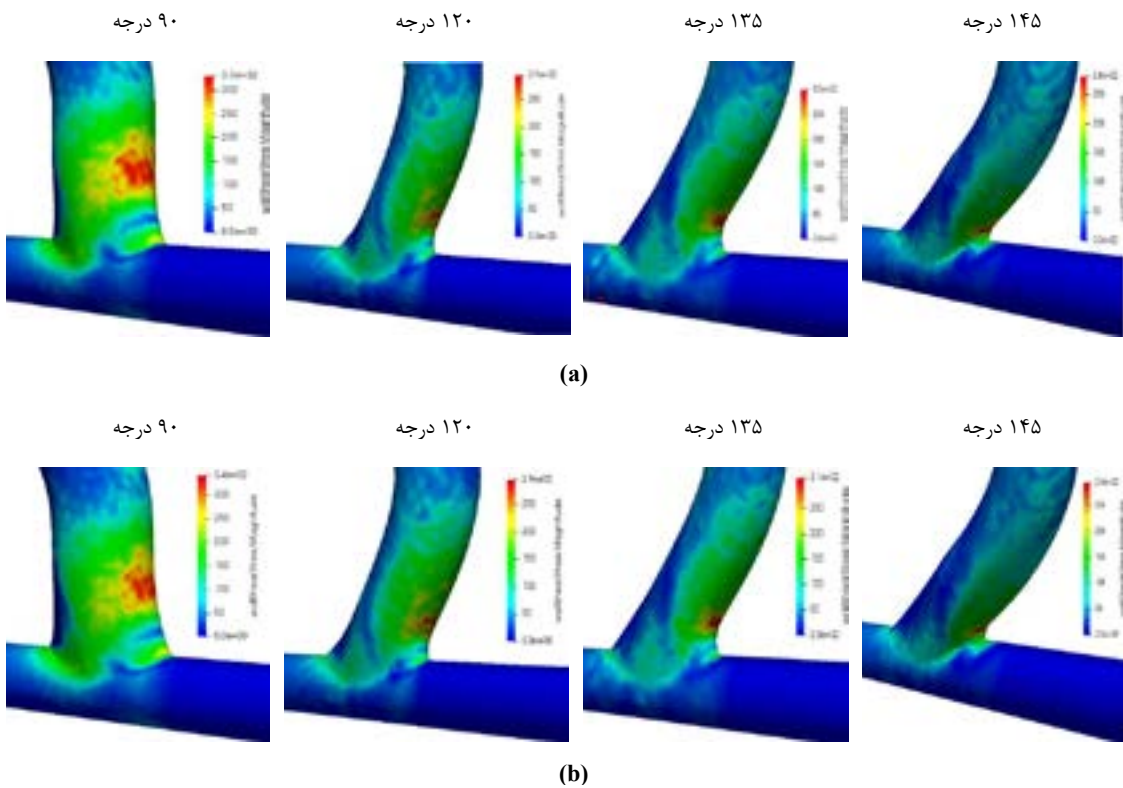
Fig. 8. Flow pattern for anastomosis with different angles in (a) Newton and (b) non-Newtonian models



شکل ۹: بردارهای سرعت در پیوند با زوایای (a) ۹۰ درجه، (b) ۱۲۰ درجه، (c) ۱۳۵ درجه و (d) ۱۴۵ درجه

شکل ۹: بردارهای سرعت در پیوند با زوایای (a) ۹۰ درجه، (b) ۱۲۰ درجه، (c) ۱۳۵ درجه و (d) ۱۴۵ درجه

Fig. 9. The velocity vectors at anastomosis with the angles (a) 90 degrees, (b) 120 degrees, (c) 135 degrees and (d) 145 degrees



شکل ۱۰: کانتور تنش برشی برای زوایای پیوند مختلف در دو مدل (a) نیوتونی و (b) غیر نیوتونی

Fig. 10. Shear stress contour for different anastomosis angles in two models (a) Newtonian and (b) non-Newtonian

جدول ۲: مقادیر تنش برشی بیشینه در مدل‌های نیوتونی و غیر نیوتونی و تجربی [۲۹]

Table 2: Maximum Shear Stress in Newtonian, non-Newtonian and Experimental Models

تجربی ( $\pm 8\%$ خطأ) (پاسکال)	غیر نیوتونی (پاسکال)	نیوتونی (پاسکال)	زاویه (درجه)
$255/7 \pm 21$	۳۳۴	۳۲۷	۹۰
-	۲۹۲	۲۸۵	۱۲۰
$334/27 \pm 27$	۳۰۵	۲۹۴	۱۳۵
-	۲۸۷	۲۸۰	۱۴۵

دو مدل نیوتونی و غیر نیوتونی پرداخته می‌شود. در شکل ۱۰، نتایج تنش برشی حاصل از شبیه‌سازی و مناطق تنش برشی بیشینه در زوایای پیوند مختلف نشان داده شده است.

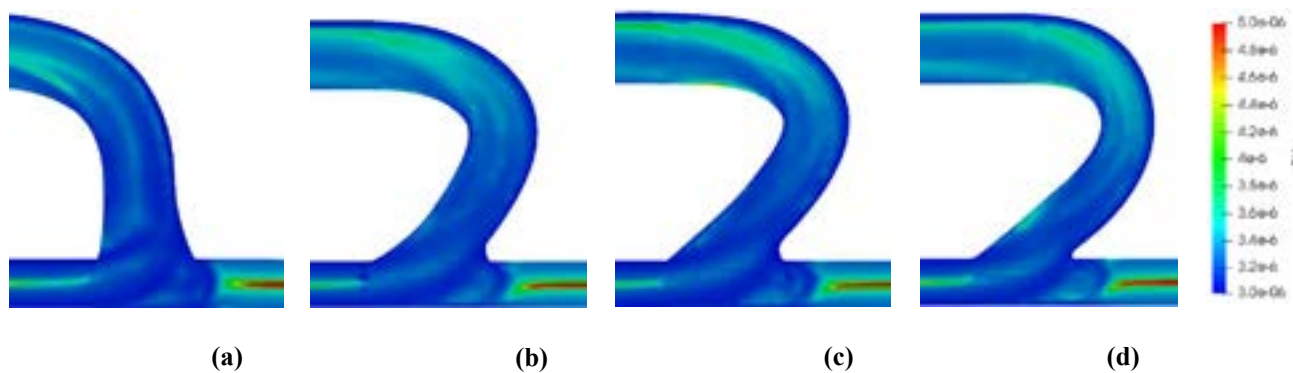
همان‌طور که ملاحظه می‌شود، در هر دو مدل نیوتونی و غیر نیوتونی، با افزایش زاویه‌ی پیوند از ۹۰ به ۱۴۵ درجه، مقادیر تنش برشی بیشینه روی دیواره‌ی فیستول کاهش یافته است. علاوه بر مقادیر تنش برشی بیشینه، محدوده‌ای که تحت تأثیر تنش برشی‌های

بیشتر است؛ اما با افزایش زاویه‌ی پیوند گردابه‌ها به تدریج کوچک‌تر می‌شوند و احتمال گرفتگی عروق در آن‌ها کم‌تر می‌شود. مطابق با نتایج شبیه‌سازی، همان‌طور که مشخص است، شدت به هم‌ریختگی جریان در محل پیوند بیشتر می‌شود و دورتر از محل پیوند کاهش می‌یابد.

از مقایسه‌ی بین الگوی جریان و بردار سرعت در چهار زاویه‌ی پیوند مشاهده می‌شود با افزایش زاویه‌ی پیوند از ۹۰ به سمت ۱۴۵ درجه، گردابه‌های کوچک‌تری تشکیل می‌شود و احتمال رسوب املاح کاهش می‌یابد و زوایای منفرجه، زوایای مناسب‌تری برای ایجاد پیوند فیستول محسوب می‌شوند.

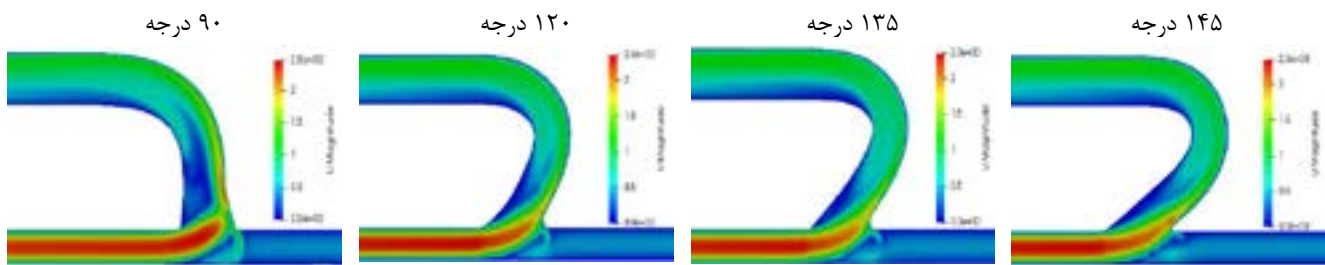
#### ۴-۵- تنش برشی در مدل نیوتونی و غیر نیوتونی

همان‌طور که اشاره شد، مهم‌ترین عامل شکست فیستول، تنش برشی بالا و زخم‌های به وجود آمده در دیواره‌ی فیستول و درنتیجه تنگی و کاهش خون‌رسانی به فیستول برای دستگاه دیالیز می‌باشد. بر همین مبنای، در این قسمت به بررسی مناطق و مقادیر تنش برشی بیشینه در چهار زاویه‌ی پیوند ۹۰، ۱۲۰، ۱۳۵ و ۱۴۵ درجه و در



شکل ۱۱: کانتور ویسکوزیته‌ی غیر نیوتونی خون در زوایای (a) ۹۰، (b) ۱۲۰، (c) ۱۳۵ و (d) ۱۴۵ درجه

Fig. 11. The contour of non-Newtonian dynamic viscosity of blood at the angles (a) 90, (b) 120, (c) 135, and (d) 145 degrees



شکل ۱۲: الگوی جریان برای پیوند با زوایای مختلف در مدل غیر نیوتونی و در دبی جریان متوسط

Fig. 12. Flow pattern for anastomosis with different angles in non-Newtonian model in medium flow rate

جهت ایجاد پیوند فیستول می‌باشدند.

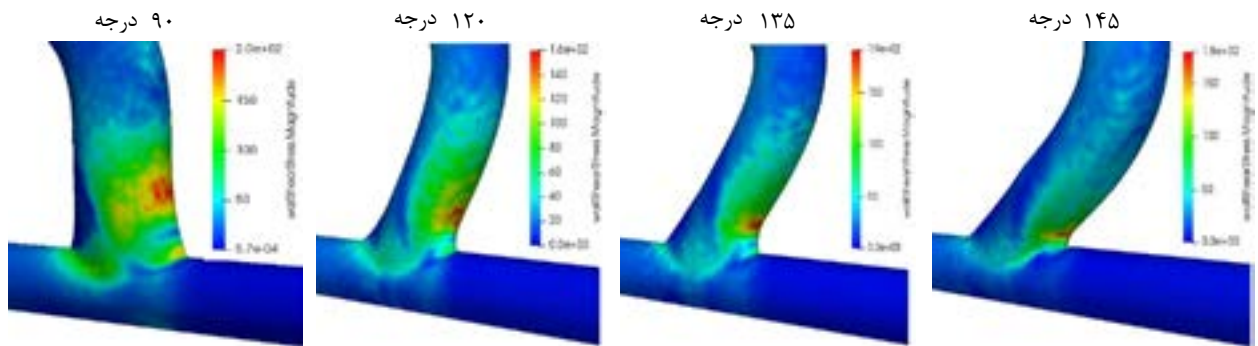
##### ۵-۵- بررسی ویسکوزیته‌ی خون

در این قسمت به بررسی نتایج مربوط به مقادیر ویسکوزیته‌ی غیر نیوتونی خون پرداخته می‌شود. طبق رابطه‌ی (۶)، با افزایش مقدار نرخ کرنش<sup>۱</sup> (٪)، ویسکوزیته‌ی خون کاهش می‌یابد و برعکس، هرچه مقدار نرخ تنفس کاهش یابد، مقدار ویسکوزیته‌ی خون افزایش می‌یابد. طبق شکل ۱۱، نتایج به دست آمده در تمام زوایای پیوند نیز رابطه‌ی عکس بین مقدار ویسکوزیته‌ی غیر نیوتونی خون و نرخ تنفس را تأیید می‌کند. همان طور که مشاهده می‌شود، با فاصله گرفتن از دیواره‌ی سرخرگ و با افزایش سرعت در مرکز سرخرگ و کاهش نرخ تنفس، مقادیر ویسکوزیته نیز افزایش می‌یابد. در سرخرگ سمت راست با توجه به سرعت جریان کمتر و درنتیجه تخت تر بودن پروفیل سرعت نسبت به سرخرگ سمت چپ (وروودی اصلی جریان خون)، نرخ تنفس نیز مقادیر کمتری دارد، بنابراین مقدار ویسکوزیته‌ی خون نیز بیشتر

بالا است و موجب بروز بیماری ترومبوز می‌شود نیز کاهش یافته است و این محدوده، با افزایش زاویه‌ی پیوند، از قسمت‌های بالادرست به سمت محل بخیه‌ی پیوند نزدیک می‌شود.

جدول ۲ نیز مقادیر دقیق تنفس برشی بیشینه را در دو مدل نیوتونی و غیر نیوتونی نشان می‌دهد. همان طور که ملاحظه می‌شود، مدل غیر نیوتونی نسبت به مدل نیوتونی، با اختلاف بسیار کمی، مقادیر تنفس برشی بیشینه را مقادیر بالاتری پیش‌بینی کرده است و با افزایش زاویه‌ی پیوند از ۹۰ درجه به ۱۴۵ درجه، این مقادیر در مدل نیوتونی به ترتیب از مقدار ۳۲۷ پاسکال به مقدار ۲۸۰ پاسکال رسیده است و در مدل غیر نیوتونی نیز این مقادیر از ۳۳۴ پاسکال به ۲۸۷ پاسکال کاهش یافته است.

درنهایت با مقایسه‌ی بین مقادیر تنفس برشی بیشینه که به عنوان عامل اصلی بروز بیماری ترومبوز و درنتیجه شکست فیستول شناخته می‌شود و همچنین محدوده‌ای از فیستول که مقادیر بالای تنفس برشی را دارند، مشخص می‌شود که زوایای منفرجه، زوایای مناسب‌تری



شکل ۱۳: کانتور تنش برشی برای زوایای پیوند مختلف در مدل غیر نیوتونی و در دبی جریان متوسط

Fig. 13. Shear stress contour for different anastomosis angles in non-Newtonian model in medium flow rate

نامنظم کاهش می‌یابد و کمترین مقدار تنش برشی بیشینه مربوط به زاویه‌ی ۱۲۰ درجه و برابر با  $159/6$  پاسکال می‌باشد. همچنین نواحی درگیر در تنش برشی‌های بالا نیز با افزایش زاویه‌ی پیوند کاهش می‌یابد و موجب کندی در گسترش بیماری ترومبوز می‌شود.

جدول ۳، مقادیر دقیق تنش برشی بیشینه را در دبی جریان متوسط نشان می‌دهد. از مقایسه‌ی بین مقادیر تنش برشی بیشینه در دبی بیشینه و متوسط مشاهده شد که در دبی متوسط، اختلاف بین تنش برشی بیشینه در زاویه‌ی ۹۰ درجه نسبت به دیگر زوایا کمتر از دبی جریان بیشینه است و این نتایج حاکی از آن است که با کاهش دبی جریان، مقادیر تنش برشی بیشینه در زوایای مختلف به یکدیگر نزدیک می‌شوند.

جدول ۳: مقادیر تنش برشی بیشینه در مدل غیر نیوتونی و در دبی جریان متوسط

Table 3. The maximum shear stress in the non-Newtonian model in the medium flow rate

زاویه (درجه)	تنش برشی (پاسکال)
۹۰	$201/6$
۱۲۰	$159/6$
۱۳۵	$191/1$
۱۴۵	$180/6$

## ۶- نتایج مربوط به دبی جریان متوسط

### ۶-۱- الگوی جریان

در این مقاله به بررسی الگوی جریان و تنش برشی بیشینه برای چهار زاویه‌ی پیوند  $90$ ،  $120$ ،  $135$  و  $145$  درجه و در دبی جریان بیشینه و متوسط از منحنی پالسی خون پرداخته شد. درنهایت مشخص شد که با توجه به جدایش جریان بیشتر، تشکیل گردابهای بزرگ‌تر، گرفتگی در محل جدایش و درنتیجه کاهش خون‌رسانی به فیستول در پیوند با زاویه‌ی  $90$  درجه، می‌توان گفت که پیوند با زوایای منفرجه، انتخاب مناسب‌تری برای جراحان جهت ایجاد فیستول برای دیالیز می‌باشد.

از طرفی با مقایسه‌ی مقادیر تنش برشی بیشینه و همچنین محدوده‌ی درگیر در تنش برشی‌های بالا، می‌توان گفت که با توجه به مقادیر بالاتر تنش برشی بیشینه در پیوند با زاویه‌ی  $90$  درجه نسبت به پیوند با زوایای منفرجه و همچنین محدوده‌ی بزرگ‌تر درگیر در

مطابق با شکل ۱۲، همانند نتایج مربوط به دبی بیشینه، سرعت بیشینه در زاویه‌ی پیوند  $90$  درجه بیشتر از بقیه‌ی زوایای پیوند می‌باشد و با افزایش زاویه‌ی پیوند کاهش می‌یابد. همچنین گردابهای که در قسمت پایین محل پیوند تشکیل می‌شود با افزایش زاویه‌ی پیوند از  $90$  درجه به  $145$  درجه کوچک‌تر می‌شود. همانند نتایج مربوط به دبی بیشینه، در دبی متوسط هم جدایی جریان اتفاق می‌افتد و غالب جریان به سمت دیواره‌ی سمت راست حرکت می‌کند و موجب افزایش سرعت و تنش برشی در این نواحی می‌شود.

## ۶-۲- تنش برشی

همان طور که در شکل ۱۳ مشاهده می‌شود، تنش برشی بیشینه در دبی متوسط، با افزایش زاویه‌ی پیوند از  $90$  به  $145$  درجه، به‌طور

shear stress and its role in atherosclerosis, *Jama*, 282(21) (1999) 2035-2042.

[9] Z. Kharboutly, V. Deplano, E. Bertrand, C. Legallais, Numerical and experimental study of blood flow through a patient-specific arteriovenous fistula used for hemodialysis, *Medical engineering & physics*, 32(2) (2010) 111-118.

[10] K. Van Canneyt, T. Pourchez, S. Eloot, C. Guillame, A. Bonnet, P. Segers, P. Verdonck, Hemodynamic impact of anastomosis size and angle in side-to-end arteriovenous fistulae: a computer analysis, *The journal of vascular access*, 11(1) (2010) 52-58.

[11] A. Niemann, J. Udesen, S. Thrysoe, J.V. Nygaard, E. Fründ, S.E. Petersen, J. Hasenkam, Can sites prone to flow induced vascular complications in av fistulas be assessed using computational fluid dynamics? *Journal of biomechanics*, 43(10) (2010) 2002-2009.

[12] B. Ene-Iordache, A. Remuzzi, Disturbed flow in radial-cephalic arteriovenous fistulae for haemodialysis: low and oscillating shear stress locates the sites of stenosis, *Nephrology Dialysis Transplantation*, 27(1) (2011) 358-368.

[13] W.A.W. Hassan, K. Osman, M.R.A. Kadir, W.A.K.W. Abdullah, J. Haron, M.Z. Ngali, Effect of anastomosis angle on hemodynamic of side-to-end radiocephalic arteriovenous fistula (RCAVF), in: AIP Conference Proceedings, AIP, 2012, pp. 665-670.

[14] J.E. Hull, B.V. Balakin, B.M. Kellerman, D.K. Wrolstad, Computational fluid dynamic evaluation of the side-to-side anastomosis for arteriovenous fistula, *Journal of vascular surgery*, 58(1) (2013) 187-193. e181.

[15] L.D. Browne, M.T. Walsh, P. Griffin, Experimental and numerical analysis of the bulk flow parameters within an arteriovenous fistula, *Cardiovascular engineering and technology*, 6(4) (2015) 450-462.

[16] J. de Andrade Silva, J. Karam-Filho, C.C.H. Borges, Computational analysis of anastomotic angles by blood flow conditions in side-to-end radio-cephalic fistulae used in hemodialysis, *Journal of Biomedical Science and Engineering*, 8(03) (2015) 131.

تنش برشی بیشینه روی دیواره‌ی فیستول و احتمال خطرات بیشتر برای شروع بیماری ترومبوز، زوایای منفرجه از نقطه‌نظر تنش برشی نیز به عنوان زوایای بهتری برای ایجاد پیوند فیستول محسوب می‌شوند و با توجه به اختلاف اندازه بین مقادیر تنش برشی و همچنین ابعاد تقريباً يکسان گردابه‌های تشکیل شده در زوایای منفرجه، تفاوت چندانی بین پیوند فیستول با زوایای منفرجه وجود ندارد.

## منابع

- [1] A.M. Karmody, N. Lempert, "Smooth loop" arteriovenous fistulas for hemodialysis, *Surgery*, 75(2) (1974) 238-242.
- [2] A. Bode, J. Tordoir, Vascular Access for Hemodialysis Therapy, in: *Modelling and Control of Dialysis Systems*, Springer, 2013, pp. 235-303.
- [3] D. Santoro, F. Benedetto, P. Mondello, N. Pipitò, D. Barillà, F. Spinelli, C.A. Ricciardi, V. Cernaro, M. Buemi, Vascular access for hemodialysis: current perspectives, *International journal of nephrology and renovascular disease*, 7 (2014) 281.
- [4] B. Ene-Iordache, C. Semperboni, G. Dubini, A. Remuzzi, Disturbed flow in a patient-specific arteriovenous fistula for hemodialysis: multidirectional and reciprocating near-wall flow patterns, *Journal of biomechanics*, 48(10) (2015) 2195-2200.
- [5] M. Malovrh, Native arteriovenous fistula: preoperative evaluation, *American journal of kidney diseases*, 39(6) (2002) 1218-1225.
- [6] T.C. Rothuizen, C. Wong, P.H. Quax, A.J. van Zonneveld, T.J. Rabelink, J.I. Rotmans, Arteriovenous access failure: more than just intimal hyperplasia? *Nephrology Dialysis Transplantation*, 28(5) (2013) 1085-1092.
- [7] F. Curtolo, Nuova metodologia basata sull'elaborazione di immagini da Ultrasound® per la modellazione e la simulazione numerica della fistola artero-venosa. A novel protocol based on Ultrasound® imaging for patient specific AVF modelling and numerical simulation, (2017).
- [8] A.M. Malek, S.L. Alper, S. Izumo, Hemodynamic

- Springer Science & Business Media, 2010.
- [23] A. Razavi, E. Shirani, M. Sadeghi, Numerical simulation of blood pulsatile flow in a stenosed carotid artery using different rheological models, *Journal of biomechanics*, 44(11) (2011) 2021-2030.
- [24] N. Hamedi, S. Busch, Non-Newtonian Models in OpenFOAM Implementation of a non-Newtonian model, in, 2014.
- [25] Y.I. Cho, K.R. Kensey, Effects of the non-Newtonian viscosity of blood on flows in a diseased arterial vessel. Part 1: Steady flows, *Biorheology*, 28(3-4) (1991) 241-262.
- [26] H.K. Versteeg, W. Malalasekera, An introduction to computational fluid dynamics: the finite volume method, Pearson Education, 2007.
- [27] S. Patankar, Numerical heat transfer and fluid flow, CRC press, 1980.
- [28] G. Holzinger, OpenFOAM A little User-Manua, (2018).
- [29] S.C. Park, R. Song, S. Kim, H.K. Kim, S.H. Kim, J. Lee, Fabrication of artificial arteriovenous fistula and analysis of flow field and shear stress by using  $\mu$ -PIV technology, *Journal of Mechanical Science and Technology*, 30(12) (2016) 5503-5511.
- [17] M. Bozzetto, B. Ene-Iordache, P. Brambilla, A. Remuzzi, Characterization of the flow-field in a patient-specific model of arteriovenous fistula for hemodialysis, *International CAE Conference*, (2016).
- [18] Y. He, C.M. Terry, C. Nguyen, S.A. Berceli, Y.T.E. Shiu, A.K. Cheung, Serial analysis of lumen geometry and hemodynamics in human arteriovenous fistula for hemodialysis using magnetic resonance imaging and computational fluid dynamics, *Journal of biomechanics*, 46(1) (2013) 165-169.
- [19] A. Javadzadegan, N. Myo Lwin, M. Asyraf, A. Simmons, T. Barber, Analysis of Blood Flow Characteristics in a Model of a Mature Side-to-Side Arteriovenous Fistula, *Artificial organs*, 41(11) (2017) E251-E262.
- [20] A. de Villiers, A. McBride, B. Reddy, T. Franz, B. Spottiswoode, A validated patient-specific FSI model for vascular access in haemodialysis, *Biomechanics and modeling in mechanobiology*, 17(2) (2018) 479-497.
- [21] D.C. Wilcox, Turbulence modeling for CFD, DCW industries La Canada, CA, 1998.
- [22] A. Dewan, Tackling turbulent flows in engineering,

